

*Apuntes de un curso de*

# MÉTODOS DE LA FÍSICA MATEMÁTICA II

Departamento de Física  
Facultad de Ciencias  
Universidad de Chile

Víctor Muñoz G.  
José Rogan C.



# Índice

<b>1. Espacio de funciones</b>	<b>1</b>
1.1. Definiciones . . . . .	1
1.2. Sucesiones de funciones . . . . .	3
1.3. Proceso de ortonormalización de Gram-Schmidt . . . . .	9
1.4. Coeficientes de Fourier . . . . .	10
1.5. Integrales impropias (valor principal) . . . . .	14
1.6. Convergencia según Cesàro . . . . .	15
<b>2. Series de Fourier</b>	<b>19</b>
<b>3. Transformada de Fourier</b>	<b>35</b>
3.1. Definiciones . . . . .	35
3.2. Ejemplos . . . . .	36
3.3. Propiedades . . . . .	41
3.4. Aplicaciones . . . . .	43
<b>4. Convolución</b>	<b>45</b>
4.1. Espacio $\mathcal{S}$ . . . . .	45
4.2. Producto de convolución . . . . .	46
4.3. El espacio $\mathcal{S}$ como anillo . . . . .	49
<b>5. Distribuciones temperadas</b>	<b>53</b>
5.1. Definiciones . . . . .	53
5.2. Sucesión de distribuciones . . . . .	61
5.3. Producto de distribuciones . . . . .	71
5.4. Distribuciones y ecuaciones diferenciales . . . . .	72
5.5. Convergencia débil . . . . .	73
<b>6. Distribuciones y transformada de Fourier</b>	<b>79</b>
<b>7. Convolución de distribuciones</b>	<b>87</b>
7.1. Definiciones . . . . .	87
7.2. Propiedades de la convolución de distribuciones . . . . .	89
7.3. Uso de convolución en Física . . . . .	91

<b>8. La función Gamma</b>	<b>93</b>
8.1. La función factorial . . . . .	93
8.2. La función Gamma . . . . .	94
8.3. Función Beta . . . . .	96
8.4. Notación doble factorial . . . . .	99
8.5. Fórmula de Stirling . . . . .	99
8.6. Otras funciones relacionadas . . . . .	101
<b>9. Transformada de Laplace</b>	<b>103</b>
9.1. Definición . . . . .	103
9.2. Inversión de la transformada de Laplace . . . . .	105
9.3. Propiedades de la transformada de Laplace . . . . .	109
9.4. Lista de transformadas de Laplace . . . . .	111
<b>10. Aplicaciones de la transformada de Laplace</b>	<b>113</b>
10.1. Ecuaciones diferenciales lineales con coeficientes constantes . . . . .	113
10.2. Ecuaciones integrales . . . . .	115
10.3. Ecuaciones en derivadas parciales . . . . .	117
10.4. Sistema de ecuaciones lineales . . . . .	120
<b>11. Polinomios ortogonales</b>	<b>121</b>
11.1. Definiciones . . . . .	121
11.2. Teoremas . . . . .	121
11.3. Relación de recurrencia . . . . .	123
<b>12. Polinomios de Hermite</b>	<b>125</b>
12.1. Definición . . . . .	125
12.2. Función generatriz . . . . .	125
12.3. Ortogonalidad . . . . .	128
12.4. Algunos resultados interesantes . . . . .	129
12.5. Solución por serie de la ecuación de Hermite . . . . .	129



# Capítulo 2

## Series de Fourier

versión preliminar 3.2-16 de octubre de 2002

Sea  $f$  una función arbitraria en  $\mathcal{C}[-\pi, \pi]$ , i.e.

$$[-\pi, \pi] \xrightarrow{f} \mathbb{C} \quad \text{tal que} \quad \int_{-\pi}^{\pi} |f(t)|^2 dt < \infty .$$

Sea  $\{\varphi_\nu\}_{\nu \in \mathbb{Z}}$  un conjunto de funciones ortonormales en  $\mathcal{C}[-\pi, \pi]$ , definidas como  $\varphi_\nu(t) = \frac{e^{i\nu t}}{\sqrt{2\pi}}$ .

Los *coeficientes de Fourier*,  $C_\nu = (\varphi_\nu | f)$ , satisfacen

$$\sum_{\nu} |C_\nu|^2 \leq \int_{-\pi}^{\pi} |f|^2 < \infty \quad (\text{Desigualdad de Bessel})$$

Luego

$$\lim_{\nu \rightarrow \pm\infty} C_\nu = 0 . \quad (2.1)$$

Necesitaremos un par de resultados preliminares. Observemos primero que

$$\begin{aligned} \sum_{\nu=-n}^n e^{i\nu\mu} &= e^{-in\mu} (1 + e^{i\mu} + e^{i2\mu} + \dots + e^{i2n\mu}) \\ &= \frac{1}{a^{2n}} (1 + a^2 + a^4 + \dots + a^{4n}) \quad \text{con } a = e^{i\mu/2} \\ &= \frac{1}{a^{2n}} \left[ \frac{a^{4n+2} - 1}{a^2 - 1} \right] = \frac{a^{2n+1} - a^{-(2n+1)}}{a - a^{-1}} . \end{aligned}$$

Luego

$$\sum_{\nu=-n}^n e^{i\nu\mu} = \frac{\text{sen}[(2n+1)\mu/2]}{\text{sen}(\mu/2)} . \quad (2.2)$$

Por otra parte,

$$\int_0^\pi \sum_{\nu=-n}^n e^{i\nu\mu} d\mu = \int_0^\pi \left[ 1 + 2 \sum_{\nu=1}^n \cos(\nu\mu) \right] d\mu = \pi .$$

Usando (2.2)

$$\pi = \int_0^\pi \frac{\operatorname{sen}[(2n+1)\mu/2]}{\operatorname{sen}(\mu/2)} d\mu .$$

Tomando  $\nu = \mu/2$ :

$$\pi f(t) = 2 \int_0^{\pi/2} f(t) \frac{\operatorname{sen}[(2n+1)\nu]}{\operatorname{sen} \nu} d\nu . \quad (2.3)$$

**Teorema 2.1** Sea  $f \in \mathcal{C}[-\pi, \pi]$ , entonces su serie de Fourier

$$\sum_{\nu \in \mathbb{Z}} (\varphi_\nu | f) \varphi_\nu(t)$$

converge y representa a  $f(t)$  (convergencia punto a punto) en todo el intervalo  $[-\pi, \pi]$ .

**Demostración** Considerar la suma parcial

$$S_n(t) = \sum_{\nu=-n}^n C_\nu \frac{e^{i\nu t}}{\sqrt{2\pi}} .$$

Los coeficientes de Fourier son

$$C_\nu = (\varphi_\nu | f) = \int_{-\pi}^\pi \frac{e^{-i\nu t'}}{\sqrt{2\pi}} f(t') dt'$$

$$2\pi S_n(t) = 2\pi \sum_{\nu=-n}^n C_\nu \frac{e^{i\nu t}}{\sqrt{2\pi}} = 2\pi \sum_{\nu=-n}^n \int_{-\pi}^\pi \frac{e^{-i\nu t'}}{\sqrt{2\pi}} f(t') dt' \frac{e^{i\nu t}}{\sqrt{2\pi}}$$

$$2\pi S_n(t) = \int_{-\pi}^\pi f(t') \sum_{\nu=-n}^n e^{i\nu(t-t')} dt'$$

Sea  $u = t' - t$  ( $du = dt'$ ). Se tiene:

$$2\pi S_n(t) = \int_{-\pi-t}^{\pi-t} f(u+t) \sum_{\nu=-n}^n e^{-i\nu u} du .$$

Puesto que  $\sum_{\nu=-n}^n e^{-i\nu n} = \sum_{\nu=-n}^n e^{i\nu n}$  [ver (2.2), por ejemplo], y haciendo una extensión periódica de  $f$  a todo  $\mathbb{R}$ ,

$$f(u \pm 2\pi) = f(u) \quad \forall u \in \mathbb{R} ,$$

resulta

$$2\pi S_n(t) = \int_{-\pi}^\pi f(u+t) \sum_{\nu'=-n}^n e^{i\nu' u} du$$

$$\pi S_n(t) = \frac{1}{2} \int_{-\pi}^0 f(t+u) \sum_{\nu=-n}^n e^{i\nu u} du + \frac{1}{2} \int_0^\pi f(t+u) \sum_{\nu=-n}^n e^{i\nu u} du$$

Haciendo en la primera integral el cambio de variables  $u = -2v$ , y en la segunda el cambio  $u = 2v$ :

$$\pi S_n(t) = \frac{1}{2}(-2) \int_{\pi/2}^0 f(t-2v) \sum_{\nu=-n}^n e^{i\nu 2v} dv + \frac{1}{2}(2) \int_0^{\pi/2} f(t+2v) \sum_{\nu=-n}^n e^{i\nu 2v} dv .$$

Usando (2.2) y (2.3):

$$\pi [S_n(t) - f(t)] = \int_0^{\pi/2} [f(t-2v) + f(t+2v) - 2f(t)] \frac{\text{sen}[(2n+1)v]}{\text{sen } v} dv . \quad (2.4)$$

Definamos ahora

$$\psi_t(v) = f(t+2v) + f(t-2v) - 2f(t) \quad v \in [0, \pi/2] .$$

Sea

$$g(v) = \begin{cases} \frac{\psi_t(v)}{\text{sen } v} & v \in [0, \pi/2] \\ 0 & v \in [-\pi, 0] \\ 0 & v \in [\pi/2, \pi] \end{cases}$$

$g(v)$  es acotada en  $[-\pi, \pi]$  y, de hecho, se puede mostrar que pertenece a  $\mathcal{C}[-\pi, \pi]$ . Podemos reescribir (2.4):

$$\pi [S_n(t) - f(t)] = \int_{-\pi}^{\pi} g(v) \text{sen}[(2n+1)v] dv = \sqrt{2\pi} \text{Im} (\varphi_{2n+1} | g) .$$

Con (2.1),

$$\pi [S_n(t) - f(t)] = \sqrt{2\pi} \text{Im} (\varphi_{2n+1} | g) \xrightarrow{n \rightarrow \infty} 0 .$$

Luego

$$\lim_{n \rightarrow \infty} S_n(t) = f(t) ,$$

o sea

$$f(t) = \sum_{\nu \in \mathbb{Z}} C_\nu \frac{e^{i\nu t}}{\sqrt{2\pi}} .$$

q.e.d.

Sabemos, de (2.1), que

$$\int_{-\pi}^{\pi} |f(t)|^2 dt < \infty \implies \lim_{\nu \rightarrow \infty} C_\nu = 0 .$$

Supongamos que  $f \in \mathcal{C}_o[-\pi, \pi]$  y que  $f'$  es continua, tal que  $\int_{-\pi}^{\pi} |f'|^2 < \infty$ . Entonces de la definición de los coeficientes de Fourier:

$$\sqrt{2\pi} C_\nu = \int_{-\pi}^{\pi} f(t) e^{-i\nu t} dt \quad \nu \in \mathbb{Z} .$$



Si integramos por partes:

$$\sqrt{2\pi} C_\nu = \left( f(t) \frac{e^{-i\nu t}}{-i\nu} \right)_{-\pi}^{\pi} + \frac{1}{i\nu} \int_{-\pi}^{\pi} f'(t) e^{-i\nu t} dt .$$

Observando que el segundo término no es sino el coeficiente de Fourier de  $f'$ , tenemos

$$\nu C_\nu \xrightarrow{\nu \rightarrow \pm\infty} 0 .$$

Análogamente, si  $f, f' \in \mathcal{C}_o[-\pi, \pi]$  y  $f''$  es continua, tal que  $\int_{-\pi}^{\pi} |f''|^2 < \infty$ , entonces

$$\nu^2 C_\nu \xrightarrow{\nu \rightarrow \pm\infty} 0 .$$

Vale decir, cuanto más derivable es la función  $f$ , tanto más rápido tienden a cero sus coeficientes de Fourier. Más aún, se puede demostrar el siguiente teorema:

**Teorema 2.2 (Sin demostración)** Si  $f \in \mathcal{C}$  y  $f$  tiene discontinuidades “mansas” (saltos finitos), entonces los coeficientes de Fourier  $C_\nu$  decrecen como  $1/\nu$ .

Si  $f \in \mathcal{C}_o$ ,  $f' \in \mathcal{C}$  y  $f'$  tiene discontinuidades “mansas”, entonces los coeficientes de Fourier  $C_\nu$  decrecen como  $1/\nu^2$ .

Etcétera.

El teorema anterior muestra que la serie de Fourier converge más rápidamente mientras mejor comportamiento analítico tenga la función  $f$ . En el caso de funciones infinitamente derivables, los coeficientes de Fourier exhiben decaimientos más fuertes que cualquier polinomio ( $C_\nu \simeq 1/\nu!$ , por ejemplo).

**Teorema 2.3** Si  $f'' \in \mathcal{C}[-\pi, \pi]$  entonces la serie de Fourier de  $f$  converge uniformemente a  $f$ .

**Demostración** Sean  $C_\nu = (\varphi_\nu | f)$  los coeficientes de Fourier de  $f$ . Como  $f' \in \mathcal{C}_o$ , entonces  $\nu^2 C_\nu \xrightarrow{\nu \rightarrow \pm\infty} 0$ , luego existe un  $N$  tal que para todo  $|\nu| > N$  se tiene

$$\begin{aligned} |\nu^2 C_\nu| &< 1 \\ \sum_{\nu \in \mathbb{Z}} C_\nu \varphi_\nu &= \sum_{|\nu| \leq N} C_\nu \varphi_\nu + \sum_{|\nu| > N} C_\nu \varphi_\nu \end{aligned}$$

Sea

$$M = \max_{t \in [-\pi, \pi]} \sum_{|\nu| \leq N} C_\nu \varphi_\nu .$$

Entonces

$$\begin{aligned} \sum_{\nu \in \mathbb{Z}} C_\nu \varphi_\nu &\leq \left| \sum_{|\nu| \leq N} C_\nu \varphi_\nu + \sum_{|\nu| > N} C_\nu \varphi_\nu \right| \leq \left| \sum_{|\nu| \leq N} C_\nu \varphi_\nu \right| + \left| \sum_{|\nu| > N} C_\nu \varphi_\nu \right| \\ &\leq M + \sum_{|\nu| > N} |C_\nu| |\varphi_\nu| = M + \sum_{|\nu| > N} |C_\nu| \frac{1}{\sqrt{2\pi}} \\ &\leq M + \frac{1}{\sqrt{2\pi}} \sum_{|\nu| > N} |C_\nu| < M + \frac{1}{\sqrt{2\pi}} \sum_{|\nu| > N} \frac{1}{\nu^2} \end{aligned}$$

Pero

$$\sum_{n=1}^{\infty} \frac{1}{n^2} = \zeta(2) = \frac{\pi^2}{6} ,$$

donde  $\zeta(x)$  es la función zeta de Riemann. Así:

$$\sum_{\nu \in \mathbb{Z}} C_{\nu} \varphi_{\nu} < M + \frac{2}{\sqrt{2\pi}} .$$

Luego existe un mayorante convergente independiente de  $t$ , y por lo tanto hay convergencia uniforme.

q.e.d.

**Proposición 2.1 (Sin demostración)** Si  $f \in \mathcal{C}[-\pi, \pi]$  y  $f(t) \in \mathbb{R}$ , entonces  $f$  se puede expandir en una serie trigonométrica:

$$f(t) = \frac{A_0}{2} + \sum_{n=1}^{\infty} A_n \cos(nt) + B_n \sin(nt) ,$$

con los coeficientes dados por

$$A_n = \frac{1}{\pi} \int_{-\pi}^{\pi} f(t) \cos(nt) dt$$

$$B_n = \frac{1}{\pi} \int_{-\pi}^{\pi} f(t) \sin(nt) dt$$

## Resultados útiles

Escribamos la serie de Fourier

$$f(x) = \sum_{\nu=-\infty}^{\infty} C_{\nu} e^{i\nu x} , \quad C_{\nu} = \frac{1}{2\pi} \int_{-\pi}^{\pi} f(t) e^{-i\nu t} dt .$$

$$1) \quad f(x + 2\pi) = f(x)$$

La expansión de Fourier de  $f(x)$  implica su extensión periódica a  $\mathbb{R}$ .

$$2) \quad \text{Si } f(x) \in \mathbb{R} \quad \forall x \in [-\pi, \pi],$$

$$C_{-\nu} = C_{\nu}^* .$$

$$3) \quad \text{Poniendo}$$

$$e^{\pm i\nu x} = \cos(\nu x) \pm i \sin(\nu x) ,$$

obtenemos la expansión alternativa

$$f(x) = \frac{A_0}{2} + \sum_{\nu=1}^{\infty} [A_{\nu} \cos(\nu x) + B_{\nu} \sin(\nu x)] ,$$

con

$$A_\nu = C_\nu + C_{-\nu} = \frac{1}{\pi} \int_{-\pi}^{\pi} f(t) \cos(\nu t) dt ,$$

$$B_\nu = i(C_\nu - C_{-\nu}) = \frac{1}{\pi} \int_{-\pi}^{\pi} f(t) \sin(\nu t) dt .$$

Además:

$$f(x) = f(-x) \implies B_\nu = 0 ,$$

$$f(x) = -f(-x) \implies A_\nu = 0 ,$$

de modo que esta forma de la expansión es útil cuando  $f$  tiene paridad definida.

4) Para expandir una función  $F$  de período  $L$ , definimos una función  $f$  de período  $2\pi$  por

$$F(u) = f\left(2\pi \frac{u}{L}\right) .$$

Así,  $F(u + L) = F(u)$ . Podemos expandir en serie de Fourier la función  $f$ , obteniéndose finalmente:

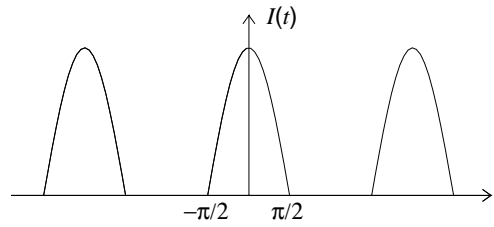
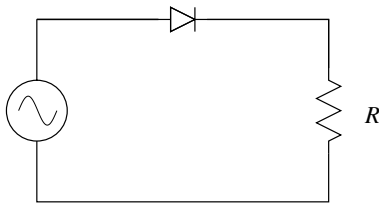
$$F(u) = \sum_{\nu=-\infty}^{\infty} C_\nu e^{iq_\nu u} = F(u + L) , \quad \text{con } q_\nu = \frac{2\pi}{L} \nu ,$$

$$C_\nu = \frac{1}{L} \int_{-L/2}^{L/2} F(t) e^{-iq_\nu t} dt .$$

## Aplicaciones

1) Rectificador de “media” onda.

Consideremos el siguiente circuito eléctrico, y la forma de la corriente en función del tiempo que por él circula:



$I(t)$  es par, luego  $B_n = 0 \quad \forall n \in \mathbb{N}$ :

$$I(t) = \frac{A_0}{2} + \sum_{n=1}^{\infty} A_n \cos(nt) ,$$

con

$$A_0 = \frac{1}{\pi} \int_{-\pi}^{\pi} I(t) dt = \frac{2}{\pi} \int_0^{\pi} I(t) dt = \frac{2}{\pi} \int_0^{\pi/2} \cos t dt = \frac{2}{\pi}$$

$$A_n = \frac{2}{\pi} \int_0^{\pi/2} \cos t \cos(nt) dt = \begin{cases} 1/2 & \text{si } n = 1 \\ 0 & \text{si } n \text{ es impar, } n \neq 1 \\ \frac{-2(-1)^{n/2}}{\pi(n^2 - 1)} & \text{si } n \text{ es par} \end{cases}$$

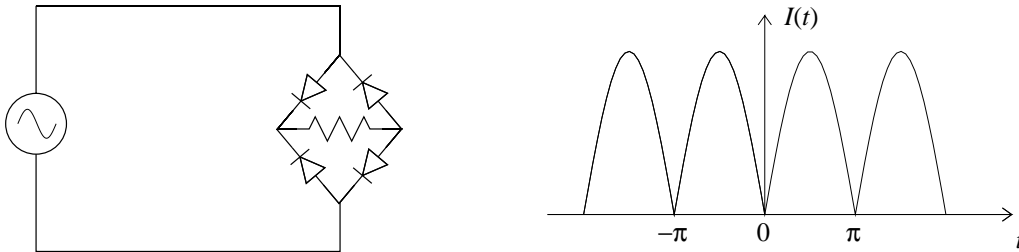
Luego

$$I(t) = \frac{1}{\pi} + \frac{\cos t}{2} + \frac{2}{\pi} \left[ \frac{\cos(2t)}{1 \cdot 3} - \frac{\cos(4t)}{3 \cdot 5} + \dots \right]$$

$$I(0) = \frac{1}{\pi} + \frac{1}{2} + \frac{2}{\pi} \left[ \frac{1}{1 \cdot 3} - \frac{1}{3 \cdot 5} + \dots \right] \quad (2.5)$$

En general,  $A_n \rightarrow 0$  como  $1/n^2$ , como corresponde a una función  $I(t)$  cuya primera derivada tiene discontinuidades mansas.

2) Rectificador de onda completa.



En este caso,  $I(t) = |\sin t|$  es par, y se tiene:

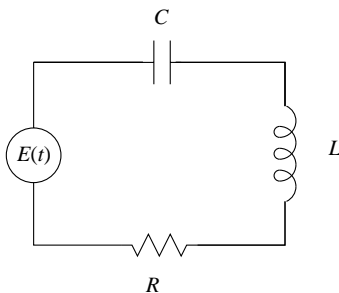
$$A_0 = \frac{4}{\pi}$$

$$A_n = \frac{2}{\pi} \int_0^{\pi} \sin t \cos(nt) dt \begin{cases} 0 & n \text{ impar} \\ -4 & n \text{ par} \\ \frac{-4}{\pi(n^2 - 1)} & n \text{ par} \end{cases}$$

e

$$I(t) = \frac{2}{\pi} - \frac{4}{\pi} \left[ \frac{\cos(2t)}{1 \cdot 3} + \frac{\cos(4t)}{3 \cdot 5} + \dots \right]$$

3) Circuito resonante  $RLC$ .



Consideremos ahora  $E(t)$  una función arbitraria pero periódica de período  $T$ . La corriente  $I(t)$  satisface

$$L \frac{d^2 I}{dt^2} + R \frac{dI}{dt} + \frac{1}{C} I = \frac{dE}{dt} .$$

$E(t)$  se puede desarrollar en serie de Fourier:

$$E(t) = \sum_{n=-\infty}^{\infty} E_n e^{in\omega t} , \quad \omega = \frac{2\pi}{T} ,$$

donde

$$E_n = \frac{1}{T} \int_{-T/2}^{T/2} E(t) e^{-in\omega t} dt .$$

Estos coeficientes se pueden calcular si  $E(t)$  es una función conocida. Escribiendo

$$I(t) = \sum_{n=-\infty}^{\infty} C_n e^{in\omega t} ,$$

encontramos, reemplazando en la ecuación diferencial:

$$\sum_{n=-\infty}^{\infty} \left[ \left( -n^2 \omega^2 L + in\omega R + \frac{1}{C} \right) C_n - in\omega E_n \right] e^{in\omega t} = 0 .$$

Siendo  $\{e^{in\omega t}\}_n$  un conjunto linealmente independiente, cada coeficiente de la suma debe ser nulo, luego:

$$C_n = \frac{i \frac{n\omega}{L}}{\frac{1}{LC} - n^2 \omega^2 + i \frac{n\omega R}{L}} E_n .$$

Aquí,  $\omega_0 = 1/\sqrt{LC}$  es la frecuencia natural del sistema.

#### 4) Conducción del calor.

Consideremos una barra de longitud  $L$ . Su temperatura es una cierta función de la distancia  $x$  a uno de sus extremos y del tiempo,  $U(x, t)$ . Supongamos que en los extremos la temperatura es siempre nula:

$$U(0, t) = U(L, t) = 0$$

y que inicialmente el perfil de temperatura es:

$$U(x, 0) = x(L - x) .$$

La ecuación que rige la evolución de la temperatura es:

$$\frac{\partial U(x, t)}{\partial t} = \kappa \frac{\partial^2 U(x, t)}{\partial x^2} ,$$

donde  $\kappa$  es la constante de conducción térmica. Al separar variables:

$$U(x, t) = X(x)T(t) ,$$

obtenemos las ecuaciones

$$\begin{aligned} \frac{dT}{dt} &= -\lambda^2 \kappa T , \\ \frac{d^2 X}{dx^2} &= -\lambda^2 X , \end{aligned}$$

donde  $\lambda$  es una constante. Las soluciones generales de estas ecuaciones son:

$$T(t) = \bar{C} e^{-\kappa \lambda^2 t} \quad \text{y} \quad X(x) = \bar{A} \cos(\lambda x) + \bar{B} \sin(\lambda x) ,$$

de modo que

$$U(x, t) = [A \cos(\lambda x) + B \sin(\lambda x)] e^{-\kappa \lambda^2 t} .$$

Imponiendo la condición de borde  $U(0, t) = 0$ :

$$A = 0 .$$

De  $U(L, t) = 0$ , en tanto,

$$\begin{aligned} \sin(\lambda L) &= 0 , \\ \lambda_m &= \frac{m\pi}{L} , \quad m \in \mathbb{N} . \end{aligned}$$

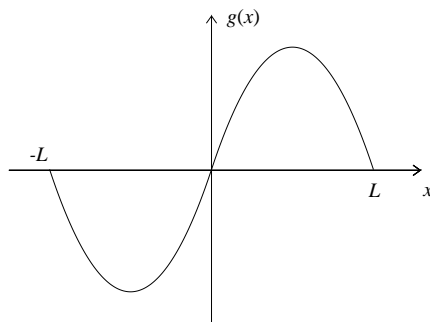
La solución más general es entonces:

$$U(x, t) = \sum_{m=1}^{\infty} B_m e^{-\kappa \lambda_m^2 t} \sin(\lambda_m x) .$$

Ahora consideramos las condiciones iniciales:

$$U(x, 0) = \sum_{m=1}^{\infty} B_m \sin\left(\frac{m\pi}{L} x\right) = x(L - x) .$$

Como esta serie es una función impar, consideramos la extensión periódica impar de la función  $g(x)$  al intervalo  $[-L, L]$ , de modo que los coeficientes  $B_m$  correspondan a los coeficientes de Fourier de  $g(x)$ :



$$B_m = \frac{1}{L} \int_{-L}^L g(x) \operatorname{sen} \left( \frac{m\pi x}{L} \right) dx = 2 \int_0^L x(L-x) \operatorname{sen} \left( \frac{m\pi x}{L} \right) dx = \frac{4L^2}{m^3\pi^3} (-1)^{m+1}$$

$$U(x, t) = \sum_{m=1}^{\infty} (-1)^{m+1} \frac{4L^2}{\pi^3} \frac{1}{m^3} \operatorname{sen} \left( \frac{m\pi x}{L} \right) e^{-\frac{\kappa m^2 \pi^2 t}{L^2}} .$$

En particular,

$$U(x, t) \xrightarrow[t \gg t_0 = \frac{L^2}{\kappa \pi^2}]{} \frac{4L^2}{\pi^3} \operatorname{sen} \left( \frac{\pi x}{L} \right) e^{-t/t_0} .$$

5) Resolver la ecuación de Laplace en dos dimensiones

$$\frac{\partial^2 U}{\partial x^2} + \frac{\partial^2 U}{\partial y^2} = 0 \quad (2.6)$$

para el interior del círculo  $x^2 + y^2 \leq 1$ , con la condición de borde  $U(\rho = 1, \phi) = \psi(\phi)$ .

La solución a (2.6) se puede plantear como

$$U(x, y) = \operatorname{Re}\{f(z)\},$$

donde  $f(z)$  es una función holomorfa en  $\mathbb{C}$ . Por tanto, podemos escribir

$$f(z) = f(x + iy) = \sum_{n=0}^{\infty} c_n z^n ,$$

y consideremos

$$c_n = a_n - ib_n .$$

Cada término de la expansión anterior satisface (2.6). En efecto,

$$\begin{aligned} \left( \frac{\partial^2}{\partial x^2} + \frac{\partial^2}{\partial y^2} \right) z^n &= \left( \frac{\partial^2}{\partial x^2} + \frac{\partial^2}{\partial y^2} \right) (x + iy)^n \\ &= \frac{\partial}{\partial x} [n(x + iy)^{n-1}] + \frac{\partial}{\partial y} [in(x + iy)^{n-1}] \\ &= n(n-1)(x + iy)^{n-2} - n(n-1)(x + iy)^{n-2} = 0 . \end{aligned}$$

Escribamos  $U(x, y)$  en coordenadas polares:

$$\begin{aligned} U(x, y) &= \operatorname{Re} \left\{ \sum_{n=0}^{\infty} (a_n - ib_n) r^n e^{in\phi} \right\} \\ &= \operatorname{Re} \left\{ \sum_{n=0}^{\infty} (a_n - ib_n) r^n (\cos n\phi + i \operatorname{sen} n\phi) \right\} \\ &= \sum_{n=0}^{\infty} r^n [a_n \cos(n\phi) + b_n \operatorname{sen}(n\phi)] . \end{aligned} \quad (2.7)$$

Imponiendo la condición de borde:

$$\psi(\phi) = \sum_{n=0}^{\infty} a_n \cos(n\phi) + b_n \sin(n\phi) .$$

Por lo tanto,  $a_n$  y  $b_n$  son los coeficientes de Fourier de  $\psi(\phi)$ . Vale decir, la solución de una ecuación de Laplace en dos dimensiones se puede escribir en términos de una expansión de Fourier.

### Fenómeno de Gibbs

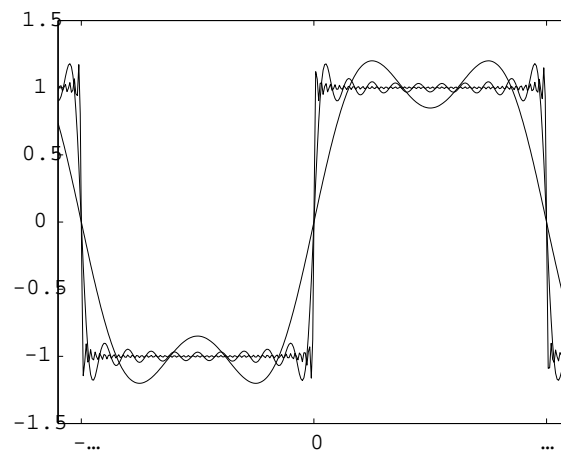
Consideremos la onda cuadrada

$$f(x) = \begin{cases} 1 & 0 < x < \pi \\ 0 & x = 0, \pm\pi \\ -1 & -\pi < x < 0 \end{cases}$$

Su expansión en serie de Fourier se obtiene fácilmente, encontrándose:

$$f(x) = \frac{4}{\pi} \sum_{l=0}^{\infty} \frac{1}{2l+1} \sin[(2l+1)x] .$$

Observamos que los coeficientes decaen como  $b_n \simeq 1/n$ , en concordancia con el teorema demostrado anteriormente (pág. 22). En la siguiente figura presentamos la función  $f(x)$  y su aproximación por sumas parciales de Fourier, con  $n = 2$ ,  $n = 10$  y  $n = 50$  términos.



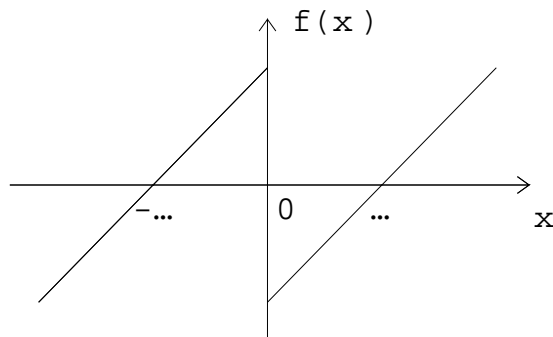
Se observa que hay buena convergencia con 10 términos, y el resultado es casi perfecto con 50, salvo ciertas oscilaciones en los puntos de discontinuidad, oscilaciones que *no* se amortiguan cuando el número de términos va a infinito. Sin embargo, como la suma parcial  $S_N(x)$  converge punto a punto al valor esperado  $f(x)$ , las oscilaciones no amortiguadas deben necesariamente limitarse a una vecindad cada vez menor en torno a los puntos de discontinuidad, de modo que cualquier  $x \neq l\pi$ ,  $l \in \mathbb{Z}$ , quede fuera de tal vecindad para  $N$  suficientemente grande.



Este fenómeno se conoce como *fenómeno de Gibbs*, y es consecuencia de la imposibilidad de aproximar uniformemente por funciones continuas una función discontinua.

Para estudiarlo con más detalle, consideremos la función “diente de sierra”:

$$f(x) = \begin{cases} x - \pi & 0 < x < \pi \\ 0 & x = 0 \\ x + \pi & -\pi < x < 0 \end{cases} \quad (2.8)$$



Su expansión de Fourier es:

$$f(x) = \sum_{n=1}^{\infty} \frac{2}{n} \operatorname{sen}(nx) .$$

Y la suma de los  $N$  primeros términos:

$$f_N(x) = \sum_{n=1}^N \frac{2}{n} \operatorname{sen}(nx) .$$

Si  $x \rightarrow 0$ , los primeros términos de la suma se hacen despreciables. Para valores grandes de  $n$ , en tanto, el sumando varía lentamente, y se puede reemplazar la suma por una integral. Por lo tanto, en el límite  $N \gg 1$ ,  $x \ll 1$  podemos escribir

$$f_N(x) \simeq \int_0^N dn \frac{2}{n} \operatorname{sen}(nx) = 2 \int_0^{Nx} dt \frac{\operatorname{sen} t}{t} .$$

Definiendo la función *seno integral*

$$\operatorname{Si}(x) = \int_0^x dt \frac{\operatorname{sen} t}{t} , \quad (2.9)$$

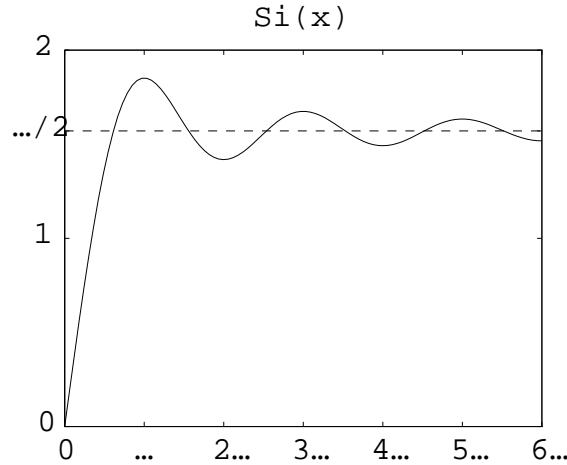
se sigue que

$$f_N(x) = 2 \operatorname{Si}(Nx) .$$

Es claro de (2.9) que  $\operatorname{Si}(0) = 0$  y  $\operatorname{Si}(\infty) = \pi/2$ . Además,  $\operatorname{Si}(x)$  posee extremos dados por

$$0 = \frac{\partial \operatorname{Si}}{\partial x} = \frac{\operatorname{sen} x}{x} \\ x = n\pi$$

Así, como  $\sin t/t$  oscila amortiguándose para  $t \rightarrow \infty$ , se espera que  $\text{Si}(x)$  igualmente oscile cuando  $x$  crece, pero convergiendo a  $\pi/2$ . Sus extremos en  $x = (2n+1)\pi$  deben ser máximos (contribuciones de área positiva de  $\sin t/t$ ), y sus extremos en  $x = 2n\pi$  deben ser mínimos (contribuciones de área negativa de  $\sin t/t$ ). El primer máximo, en  $x = \pi$ , es el máximo absoluto (ver figura).



Algunos valores característicos:

$$\begin{aligned} \text{Si}(\pi) &\simeq 1.852 \quad (\text{Primer máximo, absoluto}) \\ \text{Si}(2\pi) &\simeq 1.418 \quad (\text{Primer mínimo}) \\ \text{Si}(3\pi) &\simeq 1.675 \quad (\text{Segundo máximo}) \end{aligned}$$

De estos resultados se desprende que:

- a)  $f_N(0) = 0$
- b)  $f_N(x) \xrightarrow{x \gg 1/N} \pi \simeq 3.14159$
- c)  $f_N(x)$  tiene máximos en  $(2n+1)\pi/N$ , por ejemplo:

$$\begin{aligned} f_N\left(\frac{\pi}{N}\right) &\simeq 3.704 \quad (\text{Primer máximo, absoluto}) \\ f_N\left(\frac{3\pi}{N}\right) &\simeq 3.350 \quad (\text{Segundo máximo}) \end{aligned}$$

- d)  $f_N(x)$  tiene mínimos en  $2n\pi/N$ :

$$f_N\left(\frac{2\pi}{N}\right) \simeq 2.836 \quad (\text{Primer mínimo})$$

De este modo, la función  $f_N(x)$  oscila en tanto se tenga  $x \simeq O(1/N)$ . El primer máximo implica sobrepasar el valor límite en un 18%, y el segundo sólo en un 7%. Toda esta estructura está en una pequeña vecindad de  $x = 0$ , vecindad cuyo ancho va a cero si  $N \rightarrow \infty$ .

Esto explica el fenómeno de Gibbs. Aun cuando hemos considerado la función (2.8), es fácil convencerse de que nuestros razonamientos son generales, y que podemos aplicarlos a cualquier función en torno a una discontinuidad finita de la misma.

### Integración de series de Fourier

Sea  $f \in \mathcal{C}[-\pi, \pi]$  y

$$f(x) = \frac{a_0}{2} + \sum_{n=1}^{\infty} (a_n \cos nx + b_n \operatorname{sen} nx) .$$

Sea

$$F(x) = \int_{-\pi}^x f(t) dt .$$

Entonces  $F(x)$  es continua y acotada. Además es periódica si  $F(-\pi) = F(\pi)$ , i.e.

$$0 = F(\pi) = \int_{-\pi}^{\pi} f(t) dt = \pi a_0 ,$$

es decir,

$$a_0 = 0 .$$

Siendo  $F$  periódica, es expandible en serie de Fourier:

$$F(x) = \frac{A_0}{2} + \sum_{n=1}^{\infty} (A_n \cos nx + B_n \operatorname{sen} nx) ,$$

con

$$\begin{aligned} A_n &= \frac{1}{\pi} \int_{-\pi}^{\pi} F(x) \cos(nx) dx \\ &= F(x) \frac{\operatorname{sen} nx}{n\pi} \Big|_{-\pi}^{\pi} - \int_{-\pi}^{\pi} \frac{\operatorname{sen} nx}{n\pi} F'(x) dx \\ &= -\frac{1}{n\pi} \int_{-\pi}^{\pi} f(x) \operatorname{sen} nx dx = -\frac{b_n}{n} , \end{aligned} \quad n \neq 0 .$$

Si  $n = 0$ ,

$$A_0 = \frac{1}{\pi} \int_{-\pi}^{\pi} F(x) dx = x F(x) \Big|_{-\pi}^{\pi} - \frac{1}{\pi} \int_{-\pi}^{\pi} x f(x) dx .$$

Análogamente,

$$B_n = \frac{a_n}{n} .$$

Tenemos pues el siguiente teorema:

**Teorema 2.4** Sea  $f \in \mathcal{C}[-\pi, \pi]$  con un desarrollo de Fourier

$$f(x) = \sum_{n=1}^{\infty} (a_n \cos nx + b_n \operatorname{sen} nx)$$

( $a_0 = 0$ ). Entonces

$$\int_{-\pi}^x f(x) dx = \frac{A_0}{2} + \sum_{n=1}^{\infty} \frac{a_n}{n} \operatorname{sen} nx - \frac{b_n}{n} \cos nx,$$

con

$$A_0 = -\frac{1}{\pi} \int_{-\pi}^{\pi} x f(x) dx .$$

Si  $a_0 \neq 0$ , basta considerar  $g(x) = f(x) - a_0/2$ .

#### BIBLIOGRAFÍA ADICIONAL

La bibliografía sobre el tema es muy amplia, pero claramente la primera referencia es el libro de Fourier (de 1822) [1]. Para los que tengan interés por cuestiones teóricas, una de las referencias más autorizadas es [2]. Una breve referencia de entre las muchas dedicadas a las aplicaciones es [3].

- 1 Joseph Fourier, *Théorie analytique de la chaleur*, Editions Jacques Gabay, París, 1988 (ISBN 2 87647 046 2).
- 2 A. Zygmund, *Trigonometric Series*, vol. 1–2, Cambridge Mathematical Library, Cambridge University Press, Cambridge, 1988 (ISBN 0 52135 885 X).
- 3 James Ward Brown and Ruel V. Churchill, *Fourier Series and Boundary Value Problems*, McGraw-Hill Company, Nueva York, 2000 (ISBN 0 07232 570 4).